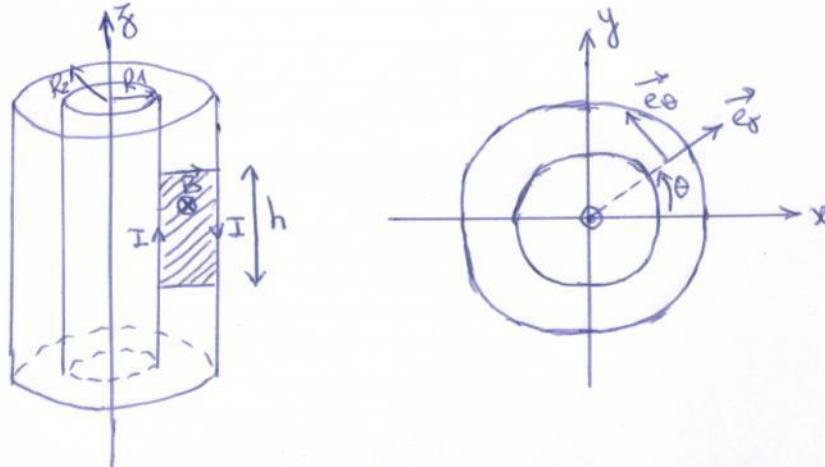




Physique 3 : Électromagnétisme

SOLUTION Devoir libre N° 3 : Actions magnétiques et induction électromagnétique

Exercice 3.3. (Exercice supplémentaire)



3.3.1- D'après l'exercice 2.4. et en considérant le cylindre intérieur parcouru par un courant surfaccique.
 le champ magnétique \vec{B} à pour expression :

$$\vec{B}(M) = \begin{cases} \vec{0} & \text{si } r < R_1 \\ \frac{\mu_0 I}{2\pi r} \vec{e}_\theta & \text{si } R_1 < r < R_2 \\ \vec{0} & \text{si } r > R_2 \end{cases}$$

(*) Donc le flux de \vec{B} à travers la surface indiquée sur la figure de hauteur h entre R_1 et R_2 :

$$\begin{aligned} \Phi(\vec{B}) &= \iint_{(S)} \vec{B} \cdot d\vec{S} = \iint_{(S)} B \cdot dS \vec{e}_\theta = \iint_{(S)} B \cdot dS \\ &= \frac{\mu_0 I}{2\pi} \int_{-h/2}^{h/2} dz \int_{R_1}^{R_2} \frac{dr}{r} \end{aligned}$$

$$\Phi(\vec{B}) = \frac{\mu_0 I}{2\pi} h \cdot \ln \frac{R_2}{R_1}$$

En plus : $\Phi = L \cdot I \Rightarrow L = \frac{\mu_0 h}{2\pi} \cdot \ln \frac{R_2}{R_1}$
 L'inductance par unité de longueur est

$$L = \frac{\mu_0}{2\pi} \ln \frac{R_2}{R_1}$$

(**) En utilisant l'énergie magnétique :

$$\begin{aligned}
 W &= \frac{1}{2} L I^2 = \frac{1}{2 \mu_0} \iiint_{(V)} \vec{B}^2 \cdot dV \quad (\text{volume du cylindre creux de hauteur } h) \\
 &= \frac{1}{2 \mu_0} \int_{-h/2}^{h/2} dz \int_0^{2\pi} d\theta \int_{R_1}^{R_2} \frac{(\mu_0 I)^2}{4\pi^2 r^2} r dr \\
 &= \frac{2\pi h}{2 \mu_0} \cdot \frac{\mu_0^2 I^2}{4\pi^2} \ln \frac{R_2}{R_1} \\
 &= \frac{\mu_0 I^2 h}{4\pi} \ln \frac{R_2}{R_1}
 \end{aligned}$$

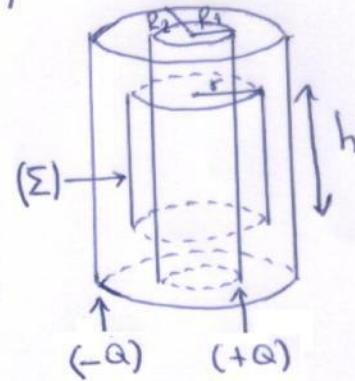
par unité de longueur

$$\text{Donc } L = \frac{\mu_0 h}{2\pi} \ln \frac{R_2}{R_1} \Rightarrow \boxed{L = \frac{\mu_0}{2\pi} \ln \frac{R_2}{R_1}}$$

3.3.2.0 (Voir condensateur cylindrique)
 paragraphe 4.7.2 Électricité

Application du théorème de Gauss
 pour $R_1 < r < R_2$

Considérons la charge (+Q) du
 cylindre intérieur \Rightarrow par influence
 le cylindre extérieur est chargé
 avec (+Q)



$$\begin{aligned}
 \iint_{(\Sigma)} \vec{E} \cdot d\vec{S} &= \frac{Q}{\epsilon_0} \Rightarrow \vec{E} = \frac{Q}{4\pi\epsilon_0 r h} \vec{e}_r \\
 \Rightarrow \Delta V &= \int_{R_1}^{R_2} \vec{E} \cdot d\vec{l} = \frac{Q}{4\pi\epsilon_0 h} \int_{R_1}^{R_2} \frac{dr}{r} \\
 \Rightarrow C &= \frac{Q}{\Delta V} = \frac{2\pi\epsilon_0 h}{\ln \frac{R_2}{R_1}}
 \end{aligned}$$

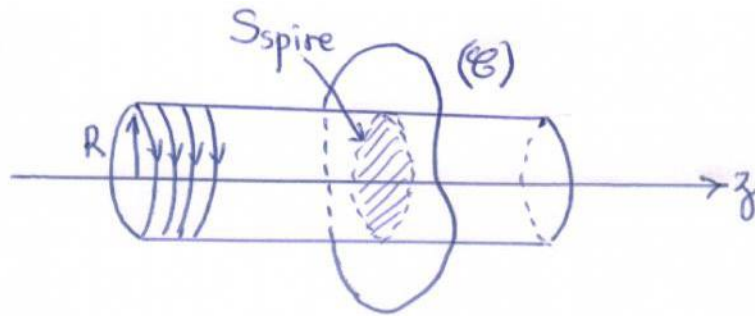
La capacité par unité de longueur est :

$$\boxed{C = \frac{2\pi\epsilon_0}{\ln \frac{R_2}{R_1}}}$$

3.3.3.0 Le produit $LC = \mu_0 \epsilon_0 = \frac{1}{c^2}$ ← vitesse de la lumière
 donc LC est une constante indépendante
 de R_1 et R_2 .

Exercice 3.4. (Exercice supplémentaire)

3.4.1.



Calcul du flux du champ \vec{B} créé par le solénoïde à travers la surface de (E) :

$$\Phi(\vec{B}) = \iint_{(S)} \vec{B} \cdot d\vec{S} \quad (S) \text{ est la surface délimitée par } (E)$$

D'après l'exercice 2.2 : $\vec{B} = \mu_0 n i \vec{e}_z$ à l'intérieur
 $\vec{B} = \vec{0}$ à l'extérieur

$$\Rightarrow \Phi = \mu_0 n i S_{spire} = \mu_0 n i \pi R^2$$

La f.é.m induite : $e(t) = -\frac{d\Phi}{dt}$

$$e(t) = -\frac{d}{dt} (\mu_0 n \pi R^2 I_0 \cos \omega t)$$

$$e(t) = \omega \mu_0 n \pi R^2 I_0 \sin \omega t$$

3.4.2.

Symétrie: Tout plan $\perp \vec{a}(Oz)$ est plan de symétrie

$$\Rightarrow \vec{E} \in \vec{a} \text{ ce plan} \Rightarrow E_z = 0$$

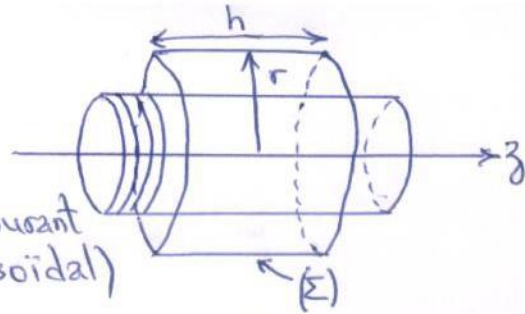
En utilisant les coordonnées cylindriques:

$$\vec{E}(M) = E_r \vec{e}_r + E_\theta \vec{e}_\theta$$

Invariance: la distribution est invariante par translation suivant (Oz) et par rotation autour de (Oz)

$$\Rightarrow \vec{E}(M) = E_r(r) \vec{e}_r + E_\theta(r) \vec{e}_\theta$$

* Application du théorème de Gauss pour $r > R$:



$$\iint_{(\Sigma)} \vec{E} \cdot d\vec{S} = \frac{Q_{int}}{\epsilon_0} = 0 \quad (\text{car le courant est sinusoïdal})$$

$$\Rightarrow \iint_{(S_L)} E_r \cdot dS = 0 \quad (S_L) \text{ surface latérale.}$$

$$\Rightarrow E_r \cdot 2\pi r h = 0 \Rightarrow \boxed{E_r(r) = 0}$$

Donc : $\vec{E}(M) = E_\theta(r) \vec{e}_\theta$

* Loi de Faraday : $e(t) = \oint_{(C)} \vec{E} \cdot d\vec{l}$ (C) est un cercle d'axe Oz et de rayon r ($r > R$)

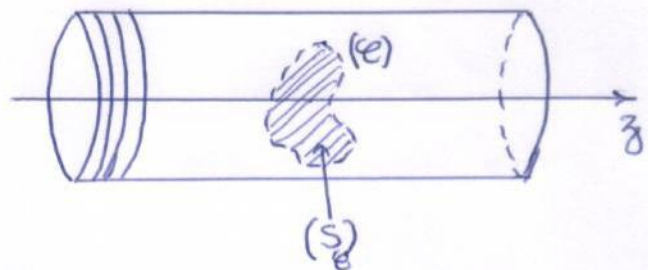
$$\Rightarrow e(t) = \oint E_\theta \cdot dl = E_\theta \cdot 2\pi r$$

$$\Rightarrow E_\theta(r) = \frac{e(t)}{2\pi r} \quad \text{donc } \boxed{\vec{E}(M) = \frac{\mu_0 n R^2}{2r} \omega I_0 \sin \omega t \vec{e}_\theta}$$

Rq : $\oint_{(C)} \vec{E} \cdot d\vec{l} = e(t)$ ne dépend pas de (C)

3.4.3o

Le flux de \vec{B} à travers (S_e)
 (S_e) surface délimitée par le contour (C)



$$\phi = \mu_0 n i S_e$$

$$\text{et } e(t) = -\frac{d\phi}{dt} = \mu_0 n S_e I_0 \omega \sin \omega t$$

$$\boxed{e(t) = \mu_0 n S_e \omega I_0 \sin \omega t}$$

Même raisonnement que pour (3.4.2-) :

$$\vec{E}(M) = E_\theta(r) \vec{e}_\theta \Rightarrow e(t) = \oint \vec{E} \cdot d\vec{l}$$

(C) est un cercle de rayon r, (C) d'axe (Oz), avec $r < R$

$$\Rightarrow \phi = \mu_0 n i \pi r^2 \quad \text{et } \boxed{E_\theta(r) = \frac{\mu_0 n I_0 r \omega}{2} \sin \omega t}$$

Rq: $\oint_{(\mathcal{E})} \vec{E} \cdot d\vec{l} = e(t)$ ne dépend pas de (\mathcal{E})

Complément: On peut vérifier le résultat par un calcul explicite.

On pose $\alpha = \mu_0 n \omega I_0 \sin \omega t \Rightarrow \vec{E} = \frac{1}{2} \alpha r \vec{e}_\theta$

et on veut montrer que $\oint_{(\mathcal{E})} \vec{E} \cdot d\vec{l} = \alpha \cdot S_{\mathcal{E}}$

Paramétrisons (\mathcal{E}) par (r, θ)

ME (\mathcal{E}) : $\vec{OM} = r \vec{e}_r$

et $d\vec{l} = dr \vec{e}_r + r d\theta \vec{e}_\theta$

$\Rightarrow \oint_{(\mathcal{E})} \vec{E} \cdot d\vec{l} = \frac{1}{2} \alpha \oint_{(\mathcal{E})} r^2 d\theta$

L'aire de la surface hachurée est égale à l'aire d'un triangle isocèle de hauteur r et de base $r d\theta$.

$\Rightarrow dS = \frac{1}{2} r^2 d\theta$

D'où $\oint_{(\mathcal{E})} \vec{E} \cdot d\vec{l} = \alpha \int_{(\mathcal{E})} dS = \alpha \cdot S_{\mathcal{E}}$ C.Q.F.D

